

$L^* = L^*_a$	a^*_a	b^*_a	$C^*_{ab,a}$	$h^*_{ab,a}$
O _{Ma} 47.94	65.39	50.52	82.63	38
Y _{Ma} 90.37	-10.26	91.75	92.32	96
L _{Ma} 50.9	-62.83	34.96	71.91	151
C _{Ma} 58.62	-30.34	-45.01	54.3	236
V _{Ma} 25.72	31.1	-44.4	54.22	305
M _{Ma} 48.13	75.28	-8.36	75.74	354
N _{Ma} 18.01	0.0	0.0	0.0	0
W _{Ma} 95.41	0.0	0.0	0.0	0
R _{CIE} 39.92	58.66	26.98	64.57	25
J _{CIE} 81.26	-2.16	67.76	67.79	92
G _{CIE} 52.23	-42.25	11.76	43.87	164
B _{CIE} 30.57	1.15	-46.84	46.86	271

%Regularität
 $g^*_{H,rel} = 20$
 $g^*_{C,rel} = 37$

$L^* = L^*_a$	a^*_a	b^*_a	$C^*_{ab,a}$	$h^*_{ab,a}$
O _{Ma} 50.5	76.92	64.55	100.42	40
Y _{Ma} 92.66	-20.69	90.75	93.08	103
L _{Ma} 83.63	-82.75	79.9	115.04	136
C _{Ma} 86.88	-46.16	-13.55	48.12	196
V _{Ma} 30.39	76.06	-103.59	128.52	306
M _{Ma} 57.3	94.35	-58.41	110.97	328
N _{Ma} 0.01	0.0	0.0	0.0	0
W _{Ma} 95.41	0.0	0.0	0.0	0
R _{CIE} 39.92	58.74	27.99	65.07	25
J _{CIE} 81.26	-2.88	71.56	71.62	92
G _{CIE} 52.23	-42.41	13.6	44.55	162
B _{CIE} 30.57	1.41	-46.46	46.49	272

%Regularität
 $g^*_{H,rel} = 20$
 $g^*_{C,rel} = 37$

$L^* = L^*_a$	a^*_a	b^*_a	$C^*_{ab,a}$	$h^*_{ab,a}$
O _{Ma} 50.5	76.92	64.55	100.42	40
Y _{Ma} 92.66	-20.69	90.75	93.08	103
L _{Ma} 83.63	-82.75	79.9	115.04	136
C _{Ma} 86.88	-46.16	-13.55	48.12	196
V _{Ma} 30.39	76.06	-103.59	128.52	306
M _{Ma} 57.3	94.35	-58.41	110.97	328
N _{Ma} 0.01	0.0	0.0	0.0	0
W _{Ma} 95.41	0.0	0.0	0.0	0
R _{CIE} 39.92	58.74	27.99	65.07	25
J _{CIE} 81.26	-2.88	71.56	71.62	92
G _{CIE} 52.23	-42.41	13.6	44.55	162
B _{CIE} 30.57	1.41	-46.46	46.49	272

$L^* = L^*_a$	a^*_a	b^*_a	$C^*_{ab,a}$	$h^*_{ab,a}$
O _{Ma} 50.5	76.92	64.55	100.42	40
Y _{Ma} 92.66	-20.69	90.75	93.08	103
L _{Ma} 83.63	-82.75	79.9	115.04	136
C _{Ma} 86.88	-46.16	-13.55	48.12	196
V _{Ma} 30.39	76.06	-103.59	128.52	306
M _{Ma} 57.3	94.35	-58.41	110.97	328
N _{Ma} 0.01	0.0	0.0	0.0	0
W _{Ma} 95.41	0.0	0.0	0.0	0
R _{CIE} 39.92	58.74	27.99	65.07	25
J _{CIE} 81.26	-2.88	71.56	71.62	92
G _{CIE} 52.23	-42.41	13.6	44.55	162
B _{CIE} 30.57	1.41	-46.46	46.49	272

%Regularität
 $g^*_{H,rel} = 20$
 $g^*_{C,rel} = 37$

$L^* = L^*_a$	a^*_a	b^*_a	$C^*_{ab,a}$	$h^*_{ab,a}$
O _{Ma} 50.5	76.92	64.55	100.42	40
Y _{Ma} 92.66	-20.69	90.75	93.08	103
L _{Ma} 83.63	-82.75	79.9	115.04	136
C _{Ma} 86.88	-46.16	-13.55	48.12	196
V _{Ma} 30.39	76.06	-103.59	128.52	306
M _{Ma} 57.3	94.35	-58.41	110.97	328
N _{Ma} 0.01	0.0	0.0	0.0	0
W _{Ma} 95.41	0.0	0.0	0.0	0
R _{CIE} 39.92	58.74	27.99	65.07	25
J _{CIE} 81.26	-2.88	71.56	71.62	92
G _{CIE} 52.23	-42.41	13.6	44.55	162
B _{CIE} 30.57	1.41	-46.46	46.49	272

%Regularität
 $g^*_{H,rel} = 20$
 $g^*_{C,rel} = 37$

$L^* = L^*_a$	a^*_a	b^*_a	$C^*_{ab,a}$	$h^*_{ab,a}$
O _{Ma} 50.5	76.92	64.55	100.42	40
Y _{Ma} 92.66	-20.69	90.75	93.08	103
L _{Ma} 83.63	-82.75	79.9	115.04	136
C _{Ma} 86.88	-46.16	-13.55	48.12	196
V _{Ma} 30.39	76.06	-103.59	128.52	306
M _{Ma} 57.3	94.35	-58.41	110.97	328
N _{Ma} 0.01	0.0	0.0	0.0	0
W _{Ma} 95.41	0.0	0.0	0.0	0
R _{CIE} 39.92	58.74	27.99	65.07	25
J _{CIE} 81.26	-2.88	71.56	71.62	92
G _{CIE} 52.23	-42.41	13.6	44.55	162
B _{CIE} 30.57	1.41	-46.46	46.49	272

%Regularität
 $g^*_{H,rel} = 20$
 $g^*_{C,rel} = 37$

$L^* = L^*_a$	a^*_a	b^*_a	$C^*_{ab,a}$	$h^*_{ab,a}$
O _{Ma} 50.5	76.92	64.55	100.42	40
Y _{Ma} 92.66	-20.69	90.75	93.08	103
L _{Ma} 83.63	-82.75	79.9	115.04	136
C _{Ma} 86.88	-46.16	-13.55	48.12	196
V _{Ma} 30.39	76.06	-103.59	128.52	306
M _{Ma} 57.3	94.35	-58.41	110.97	328
N _{Ma} 0.01	0.0	0.0	0.0	0
W _{Ma} 95.41	0.0	0.0	0.0	0
R _{CIE} 39.92	58.74	27.99	65.07	25
J _{CIE} 81.26	-2.88	71.56	71.62	92
G _{CIE} 52.23	-42.41	13.6	44.55	162
B _{CIE} 30.57	1.41	-46.46	46.49	272

%Regularität
 $g^*_{H,rel} = 20$
 $g^*_{C,rel} = 37$

$L^* = L^*_a$	a^*_a	b^*_a	$C^*_{ab,a}$	$h^*_{ab,a}$
O _{Ma} 50.5	76.92	64.55	100.42	40
Y _{Ma} 92.66	-20.69	90.75	93.08	103
L _{Ma} 83.63	-82.75	79.9	115.04	136
C _{Ma} 86.88	-46.16	-13.55	48.12	196
V _{Ma} 30.39	76.06	-103.59	128.52	306
M _{Ma} 57.3	94.35	-58.41	110.97	328
N _{Ma} 0.01	0.0	0.0	0.0	0
W _{Ma} 95.41	0.0	0.0	0.0	0
R _{CIE} 39.92	58.74	27.99	65.07	25
J _{CIE} 81.26	-2.88	71.56	71.62	92
G _{CIE} 52.23	-42.41	13.6	44.55	162
B _{CIE} 30.57	1.41	-46.46	46.49	272

%Regularität
 $g^*_{H,rel} = 20$
 $g^*_{C,rel} = 37$

$L^* = L^*_a$	a^*_a	b^*_a	$C^*_{ab,a}$	$h^*_{ab,a}$
O _{Ma} 50.5	76.92	64.55	100.42	40
Y _{Ma} 92.66	-20.69	90.75	93.08	103
L _{Ma} 83.63	-82.75	79.9	115.04	136
C _{Ma} 86.88	-46.16	-13.55	48.12	196
V _{Ma} 30.39	76.06	-103.59	128.52	306
M _{Ma} 57.3	94.35	-58.41	110.97	328
N _{Ma} 0.01	0.0	0.0	0.0	0
W _{Ma} 95.41	0.0	0.0	0.0	0
R _{CIE} 39.92	58.74	27.99	65.07	25
J _{CIE} 81.26	-2.88	71.56	71.62	92
G _{CIE} 52.23	-42.41	13.6	44.55	162
B _{CIE} 30.57	1.41	-46.46	46.49	272

%Regularität
 $g^*_{H,rel} = 20$
 $g^*_{C,rel} = 37$

$L^* = L^*_a$	a^*_a	b^*_a	$C^*_{ab,a}$	$h^*_{ab,a}$
O _{Ma} 50.5	76.92	64.55	100.42	40
Y _{Ma} 92.66	-20.69	90.75	93.08	103
L _{Ma} 83.63	-82.75	79.9	115.04	136
C _{Ma} 86.88	-46.16	-13.55	48.12	196
V _{Ma} 30.39	76.06	-103.59	128.52	306
M _{Ma} 57.3	94.35	-58.41	110.97	328
N _{Ma} 0.01	0.0	0.0	0.0	0
W _{Ma} 95.41	0.0	0.0	0.0	0
R _{CIE} 39.92	58.74	27.99	65.07	25
J _{CIE} 81.26	-2.88	71.56	71.62	92
G _{CIE} 52.23	-42.41	13.6	44.55	162</

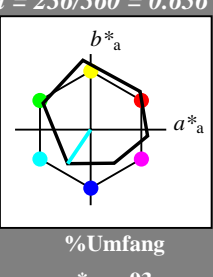
Siehe ähnliche Dateien: <http://www.ps.bam.de/NG40/>
 Technische Information: <http://www.ps.bam.de> Version 2.1, io=1,1?

Eingabe: Farbmétrisches Offset-Reflektiv-System ORS18

für Bunton $h^* = lab^*h = 236/360 = 0.656$
 lab^*tch und lab^*nch

D65: Bunton C
 LCH*Ma: 59 54 236
 olv*Ma: 0.0 1.0 1.0

Dreiecks-Helligkeit



ORS18; adaptierte CIELAB-Daten

	$L^*=L^*_a$	a^*_a	b^*_a	$C^*_{ab,a}$	$h^*_{ab,a}$
O _{Ma}	47.94	65.39	50.52	82.63	38
Y _{Ma}	90.37	-10.26	91.75	92.32	96
L _{Ma}	50.9	-62.83	34.96	71.91	151
C _{Ma}	58.62	-30.34	-45.01	54.3	236
V _{Ma}	25.72	31.1	-44.4	54.22	305
M _{Ma}	48.13	75.28	-8.36	75.74	354
N _{Ma}	18.01	0.0	0.0	0.0	0
W _{Ma}	95.41	0.0	0.0	0.0	0
R _{CIE}	39.92	58.66	26.98	64.57	25
J _{CIE}	81.26	-2.16	67.76	67.79	92
G _{CIE}	52.23	-42.25	11.76	43.87	164
B _{CIE}	30.57	1.15	-46.84	46.86	271

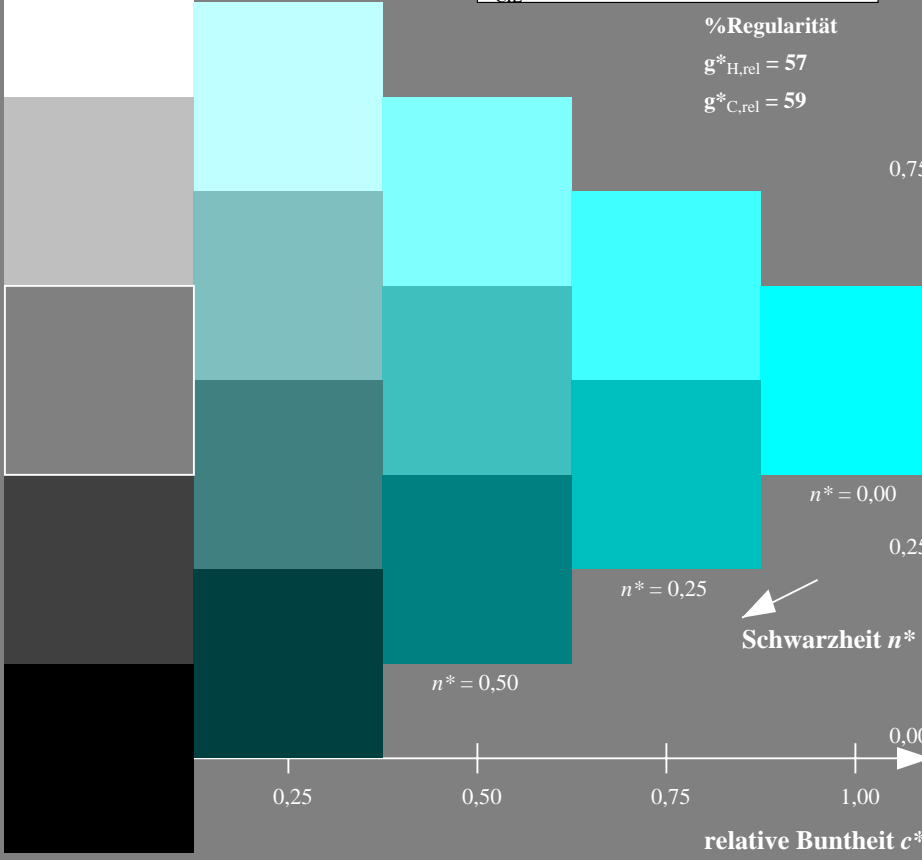
%Umfang

$u^*_{rel} = 93$



%Regularität

$g^*_{H,rel} = 57$
 $g^*_{C,rel} = 59$

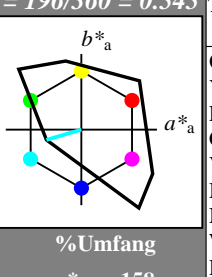


Ausgabe: Farbmétrisches Fernseh-Licht-System TLS00

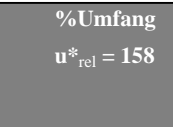
für Bunton $h^* = lab^*h = 196/360 = 0.545$
 lab^*tch und lab^*nch

D65: Bunton C
 LCH*Ma: 87 48 196
 olv*Ma: 0.0 1.0 1.0

Dreiecks-Helligkeit

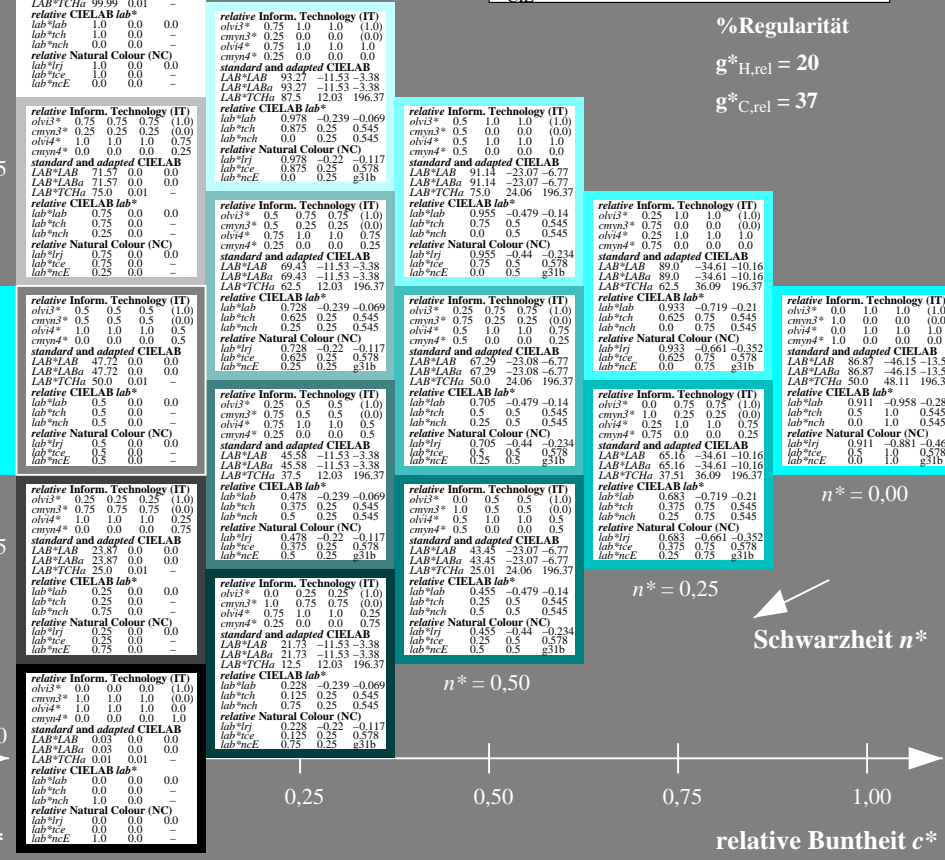


$u^*_{rel} = 158$



%Regularität

$g^*_{H,rel} = 20$
 $g^*_{C,rel} = 37$



NG40-7, 5 stufige Reihen für konstanten CIELAB Bunton 236/360 = 0.656 (links)

5 stufige Reihen für konstanten CIELAB Bunton 196/360 = 0.545 (rechts)

BAM-Prüfvorlage NG40; Farbmétrik-Systeme ORS18 & ORS18 input: olv* setrgbcolor
 D65: 5stufige Farbreihen und Koordinatendaten für 10 Bunttöne output: Startup (S) data dependend

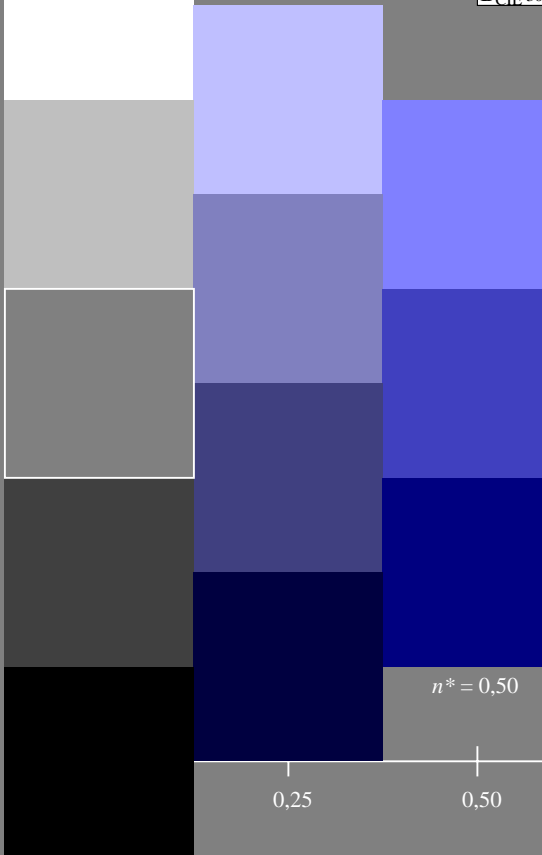
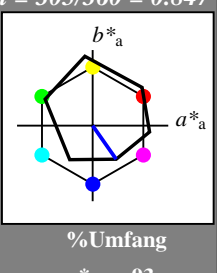
Siehe ähnliche Dateien: <http://www.ps.bam.de/NG40/>
 Technische Information: <http://www.ps.bam.de> Version 2.1, io=1,1?

Eingabe: Farbmétrisches Offset-Reflektiv-System ORS18

für Bunton $h^* = lab^*h = 305/360 = 0.847$
 lab^*tch und lab^*nch

D65: Bunton V
 LCH*Ma: 26 54 305
 olv*Ma: 0.0 0.0 1.0

Dreiecks-Helligkeit



$n^* = 0,50$

$n^* = 0,25$

Schwarzeit n^*

relative Buntheit c^*

$n^* = 1,0$

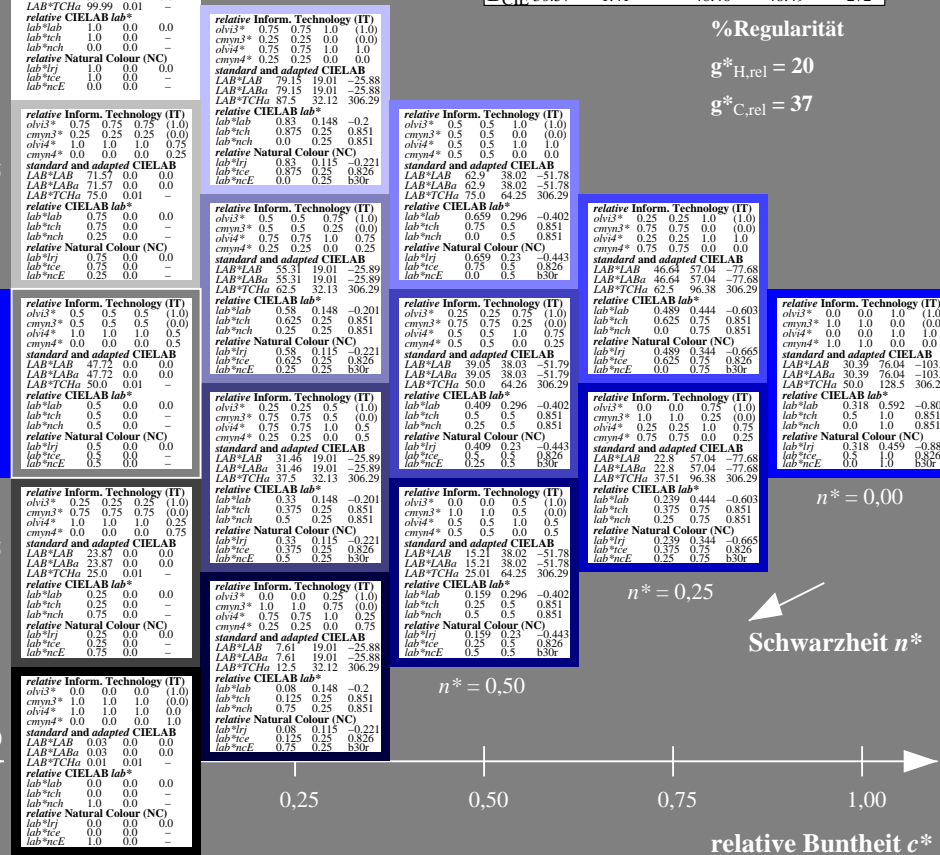
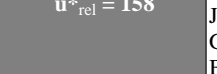
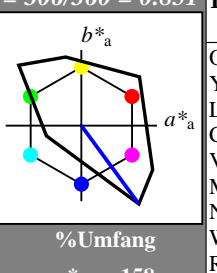
NG40-7, 5 stufige Reihen für konstanten CIELAB Bunton 305/360 = 0.847 (links)

Ausgabe: Farbmétrisches Fernseh-Licht-System TLS00

für Bunton $h^* = lab^*h = 306/360 = 0.851$
 lab^*tch und lab^*nch

D65: Bunton V
 LCH*Ma: 30 129 306
 olv*Ma: 0.0 0.0 1.0

Dreiecks-Helligkeit



$n^* = 0,50$

$n^* = 0,25$

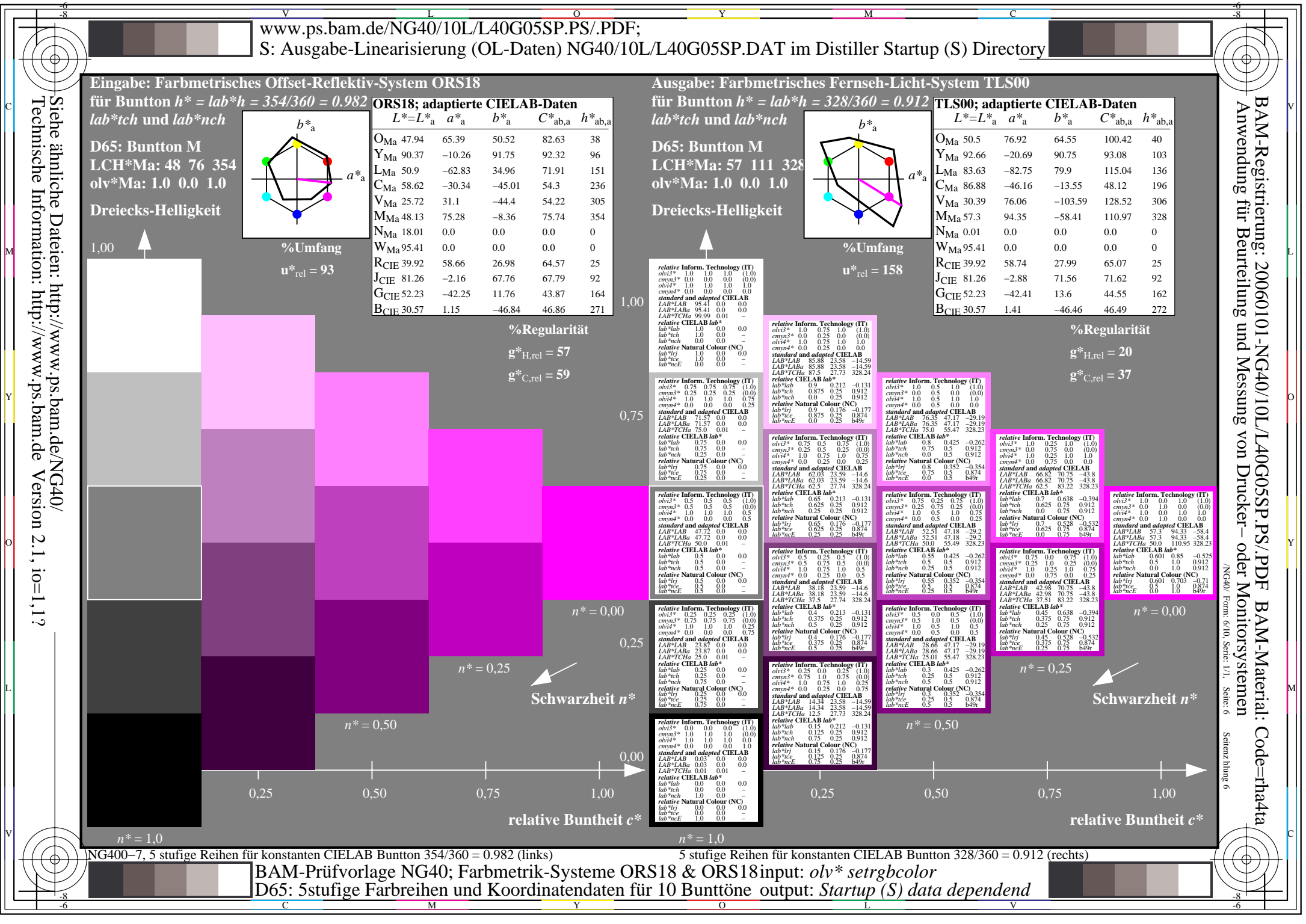
Schwarzeit n^*

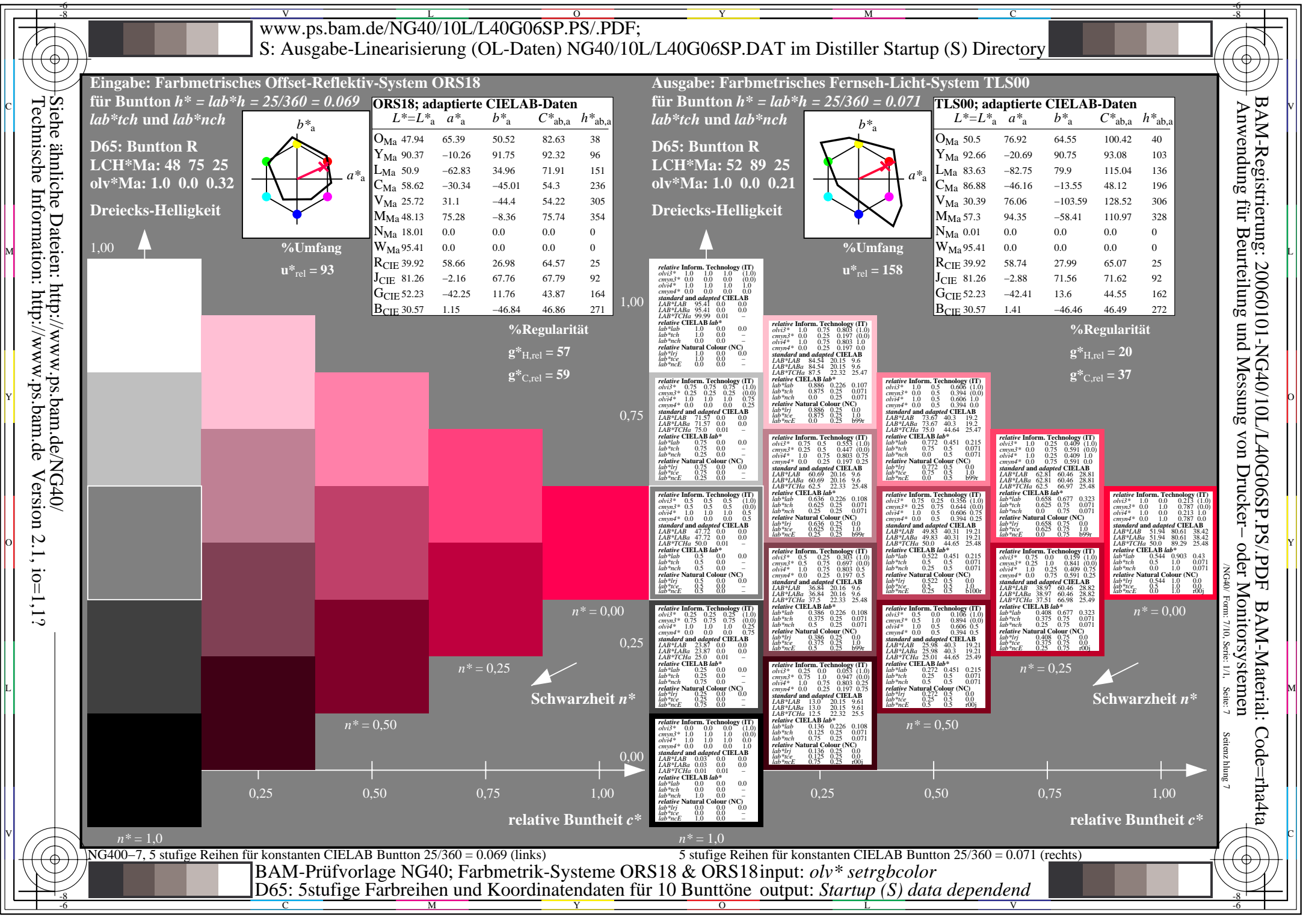
relative Buntheit c^*

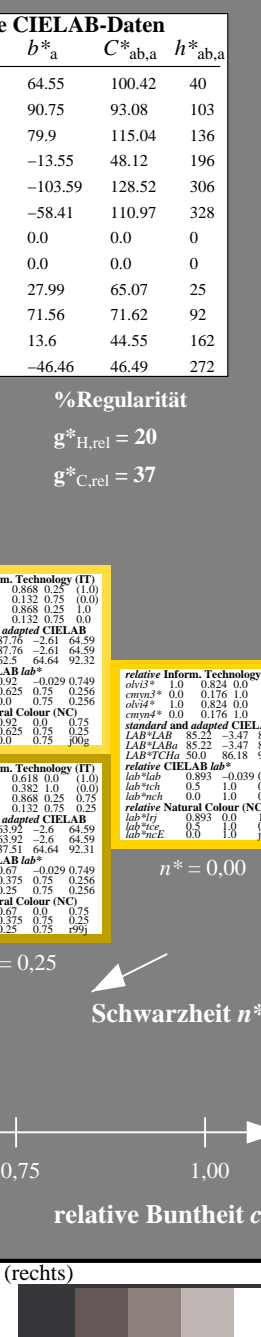
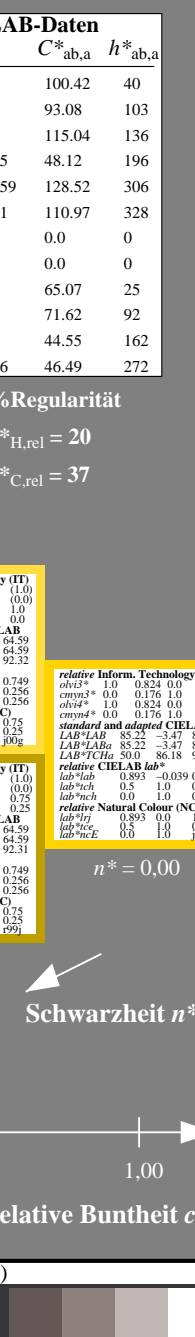
relative Buntheit c^*

5 stufige Reihen für konstanten CIELAB Bunton 306/360 = 0.851 (rechts)

BAM-Prüfvorlage NG40; Farbmétrik-Systeme ORS18 & ORS18 input: olv* setrgbcolor
 D65: 5stufige Farbreihen und Koordinatendaten für 10 Bunttöne output: Startup (S) data dependend







Eingabe: Farbmétrisches Offset-Reflektiv-System ORS18
für Bunton $h^* = lab^*h = 92/360 = 0.255$

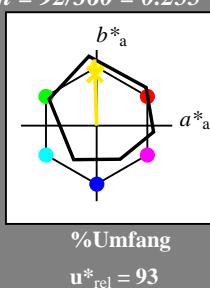
lab^*tch und lab^*nch

D65: Bunton J

LCH*Ma: 86 88 92

olv*Ma: 1.0 0.9 0.0

Dreiecks-Helligkeit



ORS18; adaptierte CIELAB-Daten

	$L^*=L^*_a$	a^*_a	b^*_a	$C^*_{ab,a}$	$h^*_{ab,a}$
O _{Ma}	47.94	65.39	50.52	82.63	38
Y _{Ma}	90.37	-10.26	91.75	92.32	96
L _{Ma}	50.9	-62.83	34.96	71.91	151
C _{Ma}	58.62	-30.34	-45.01	54.3	236
V _{Ma}	25.72	31.1	-44.4	54.22	305
M _{Ma}	48.13	75.28	-8.36	75.74	354
N _{Ma}	18.01	0.0	0.0	0.0	0
W _{Ma}	95.41	0.0	0.0	0.0	0
R _{CIE}	39.92	58.66	26.98	64.57	25
J _{CIE}	81.26	-2.16	67.76	67.79	92
G _{CIE}	52.23	-42.25	11.76	43.87	164
B _{CIE}	30.57	1.15	-46.84	46.86	271

Ausgabe: Farbmétrisches Fernseh-Licht-System TLS00

für Bunton $h^* = lab^*h = 92/360 = 0.256$

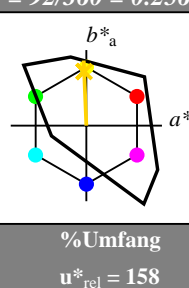
lab^*tch und lab^*nch

D65: Bunton J

LCH*Ma: 85 86 92

olv*Ma: 1.0 0.82 0.0

Dreiecks-Helligkeit



TLS00; adaptierte CIELAB-Daten

	$L^*=L^*_a$	a^*_a	b^*_a	$C^*_{ab,a}$	$h^*_{ab,a}$
O _{Ma}	50.5	76.92	64.55	100.42	40
Y _{Ma}	92.66	-20.69	90.75	93.08	103
L _{Ma}	83.63	-82.75	79.9	115.04	136
C _{Ma}	86.88	-46.16	-13.55	48.12	196
V _{Ma}	30.39	76.06	-103.59	128.52	306
M _{Ma}	57.3	94.35	-58.41	110.97	328
N _{Ma}	0.01	0.0	0.0	0.0	0
W _{Ma}	95.41	0.0	0.0	0.0	0
R _{CIE}	39.92	58.74	27.99	65.07	25
J _{CIE}	81.26	-2.88	71.56	71.62	92
G _{CIE}	52.23	-42.41	13.6	44.55	162
B _{CIE}	30.57	1.41	-46.46	46.49	272

%Regularität

$g^*_{H,rel} = 20$

$g^*_{C,rel} = 37$

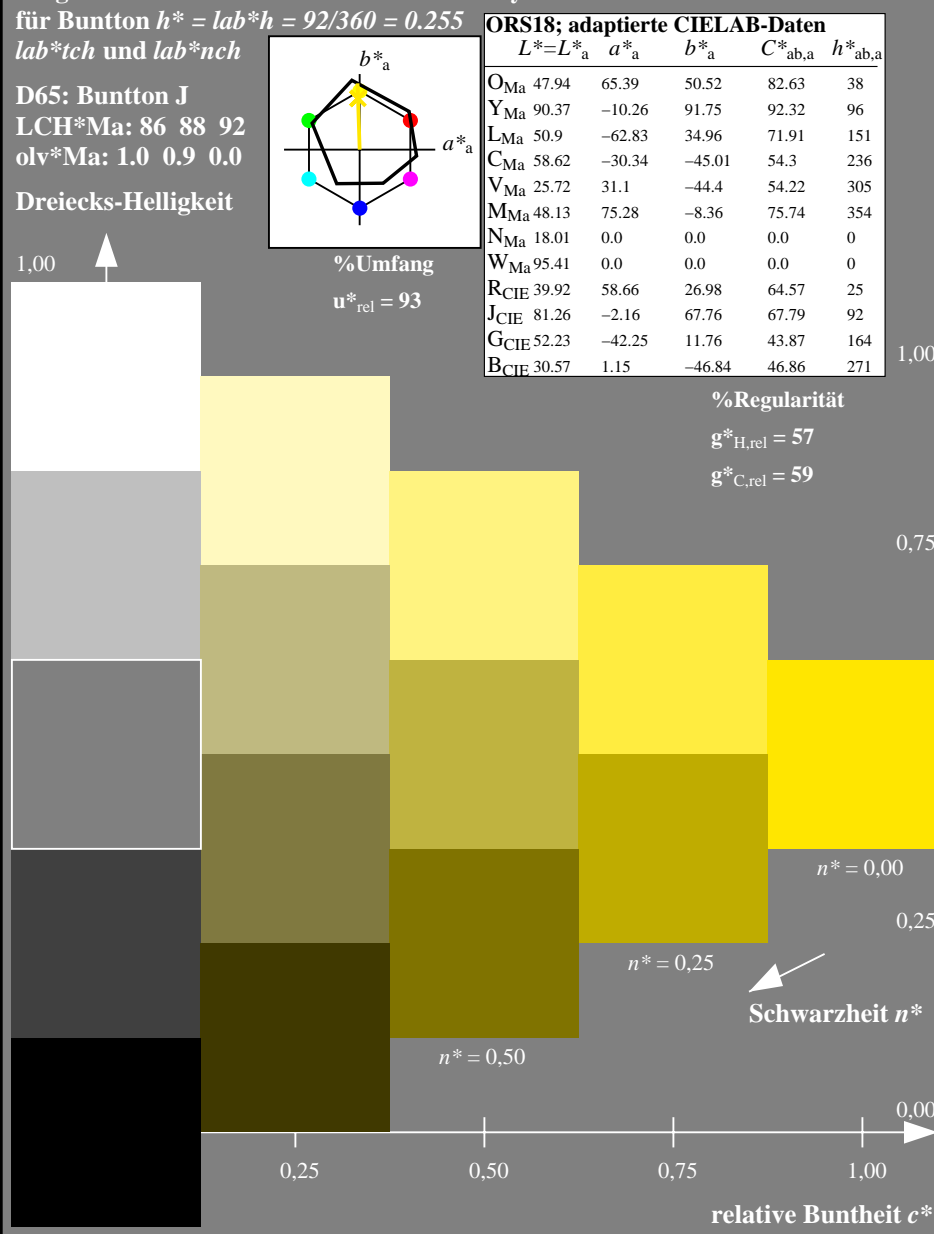
	$L^*=L^*_a$	a^*_a	b^*_a	$C^*_{ab,a}$	$h^*_{ab,a}$
O _{Ma}	1.0	0.012	0.5	(1,0)	
Y _{Ma}	0.0	0.088	0.5	(0,0)	
L _{Ma}	0.0	0.25	0.25		
C _{Ma}	1.0	0.912	0.5	(1,0)	
V _{Ma}	0.0	0.088	0.5	(0,0)	
M _{Ma}	0.0	0.25	0.25		
N _{Ma}	0.0	0.0	0.0		
W _{Ma}	0.0	0.0	0.0		
R _{CIE}	0.0	0.0	0.0		
J _{CIE}	0.0	0.0	0.0		
G _{CIE}	0.0	0.0	0.0		
B _{CIE}	0.0	0.0	0.0		

	$L^*=L^*_a$	a^*_a	b^*_a	$C^*_{ab,a}$	$h^*_{ab,a}$
O _{Ma}	1.0	0.012	0.5	(1,0)	
Y _{Ma}	0.0	0.132	0.75	(0,0)	
L _{Ma}	0.0	0.132	0.75		
C _{Ma}	1.0	0.016	0.5	(1,0)	
V _{Ma}	0.0	0.0	0.0		
M _{Ma}	0.0	0.0	0.0		
N _{Ma}	0.0	0.0	0.0		
W _{Ma}	0.0	0.0	0.0		
R _{CIE}	0.0	0.0	0.0		
J _{CIE}	0.0	0.0	0.0		
G _{CIE}	0.0	0.0	0.0		
B _{CIE}	0.0	0.0	0.0		

	$L^*=L^*_a$	a^*_a	b^*_a	$C^*_{ab,a}$	$h^*_{ab,a}$
O _{Ma}	1.0	0.086	0.25	(1,0)	
Y _{Ma}	0.0	0.132	0.75	(0,0)	
L _{Ma}	0.0	0.132	0.75		
C _{Ma}	1.0	0.016	0.5	(1,0)	
V _{Ma}	0.0	0.0	0.0		
M _{Ma}	0.0	0.0	0.0		
N _{Ma}	0.0	0.0	0.0		
W _{Ma}	0.0	0.0	0.0		
R _{CIE}	0.0	0.0	0.0		
J _{CIE}	0.0	0.0	0.0		
G _{CIE}	0.0	0.0	0.0		
B _{CIE}	0.0	0.0	0.0		

	$L^*=L^*_a$	a^*_a	b^*_a	$C^*_{ab,a}$	$h^*_{ab,a}$
O _{Ma}	1.0	0.086	0.25	(1,0)	
Y _{Ma}	0.0	0.132	0.75	(0,0)	
L _{Ma}	0.0	0.132	0.75		
C _{Ma}	1.0	0.016	0.5	(1,0)	
V _{Ma}	0.0	0.0	0.0		
M _{Ma}	0.0	0.0	0.0		
N _{Ma}	0.0	0.0	0.0		
W _{Ma}	0.0	0.0	0.0		
R _{CIE}	0.0	0.0	0.0		
J _{CIE}	0.0	0.0	0.0		
G _{CIE}	0.0	0.0	0.0		
B _{CIE}	0.0	0.0	0.0		

	$L^*=L^*_a$	a^*_a	b^*_a	$C^*_{ab,a}$	$h^*_{ab,a}$
O _{Ma}	1.0	0.086	0.25	(1,0)	
Y _{Ma}	0.0	0.132	0.75	(0,0)	
L _{Ma}	0.0	0.132	0.75		
C _{Ma}	1.0	0.016	0.5	(1,0)	
V _{Ma}	0.0	0.0	0.0		
M _{Ma}	0.0	0.0	0.0		
N _{Ma}	0.0	0.0	0.0		
W _{Ma}	0.0	0.0	0.0		
R _{CIE}	0.0	0.0	0.0		
J _{CIE}	0.0	0.0	0.0		
G _{CIE}	0.0	0.0	0.0		
B _{CIE}	0.0	0.0	0.0		



NG400-7, 5 stufige Reihen für konstanten CIELAB Bunton 92/360 = 0.255 (links)

5 stufige Reihen für konstanten CIELAB Bunton 92/360 = 0.256 (rechts)

BAM-Prüfvorlage NG40; Farbmétrik-Systeme ORS18 & ORS18 input: $olv^* setrgbcolor$
D65: 5stufige Farbreihen und Koordinatendaten für 10 Bunttöne output: Startup (S) data dependend

